

PRÁTICA 7

TRANSISTOR BIPOLAR DE JUNÇÃO

Polarização Simples

Revisão

SEL0610 - LABORATÓRIO DE CIRCUITOS ELETRÔNICOS

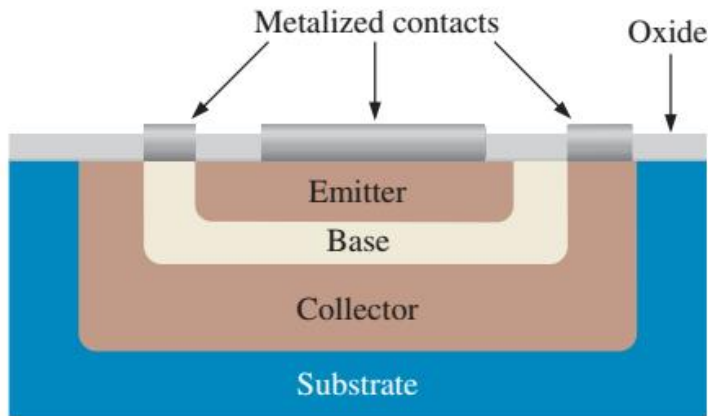
Engenharia de Computação – 6º Período Letivo

Conteúdo

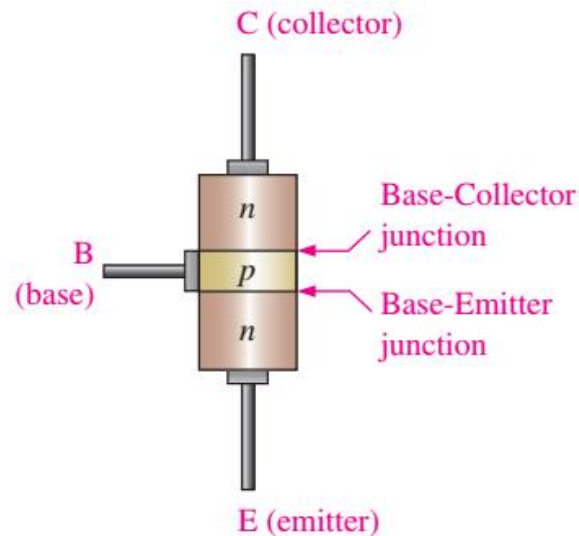
- Estrutura do TBJ
- Operação do TBJ
- Análise de Circuito
- Folha de Dados
- Teste de TBJ
- Empacotamento

Estrutura do TBJ

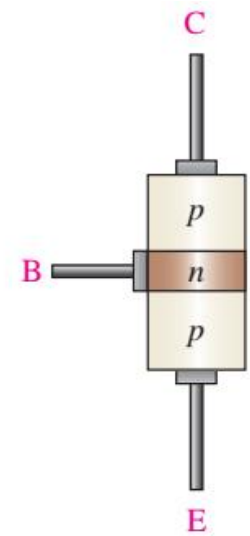
■ Estrutura básica de um Transistor Bipolar de Junção



(a) Basic epitaxial planar structure

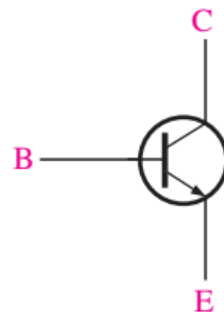


(b) npn

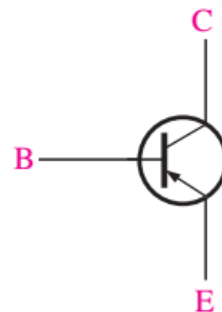


(c) pnp

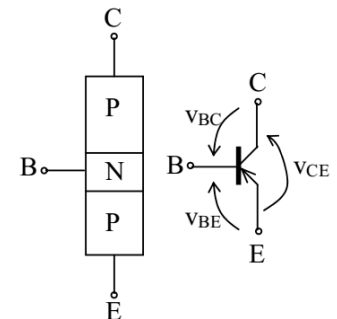
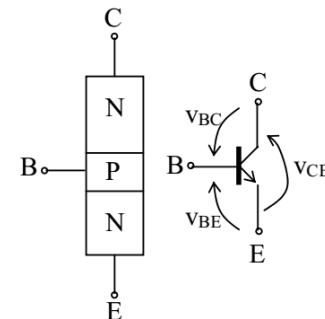
■ Simbologia



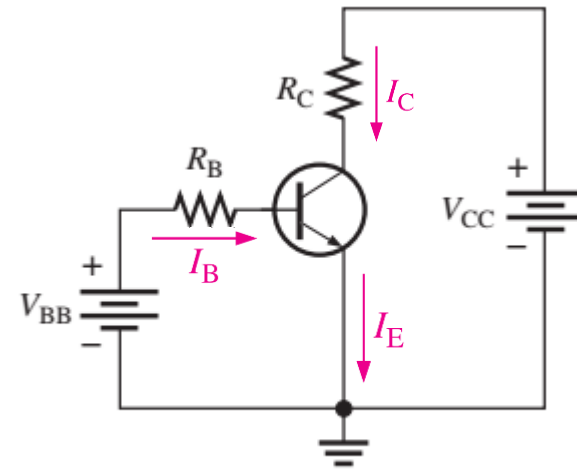
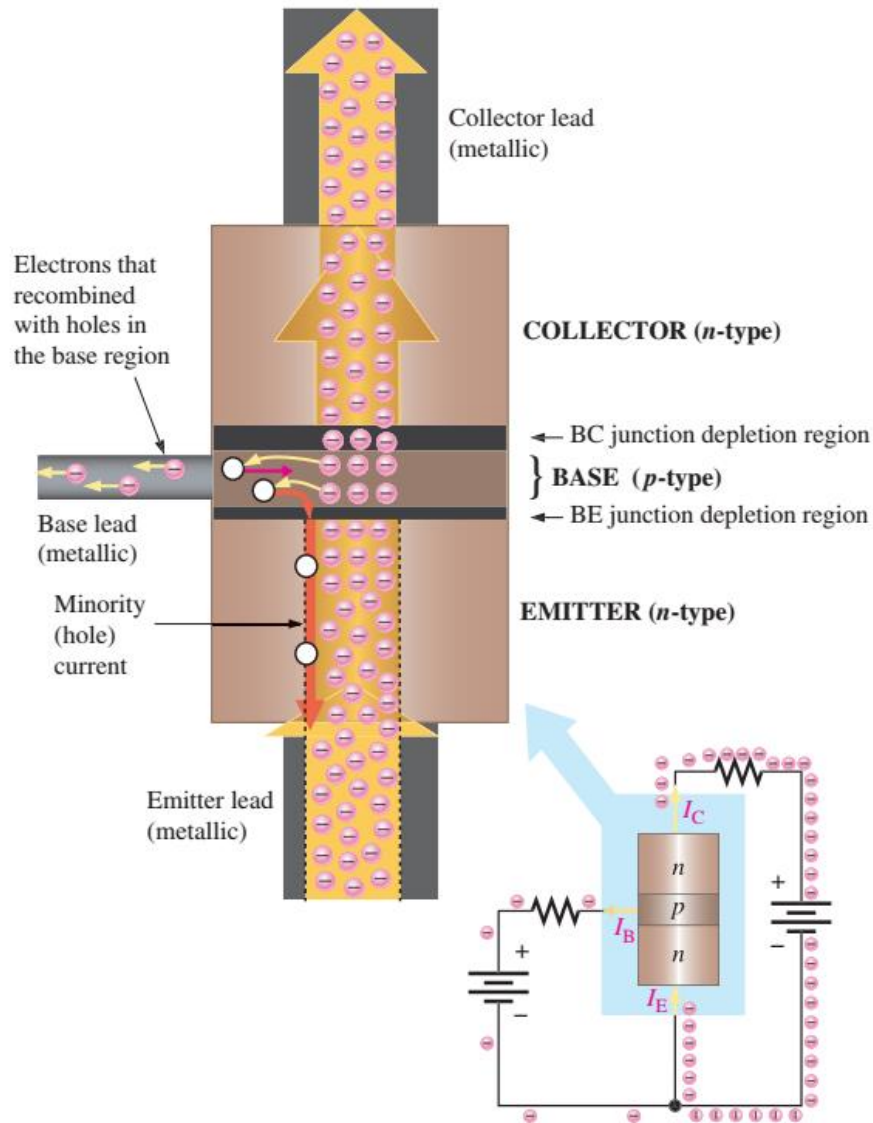
(a) npn



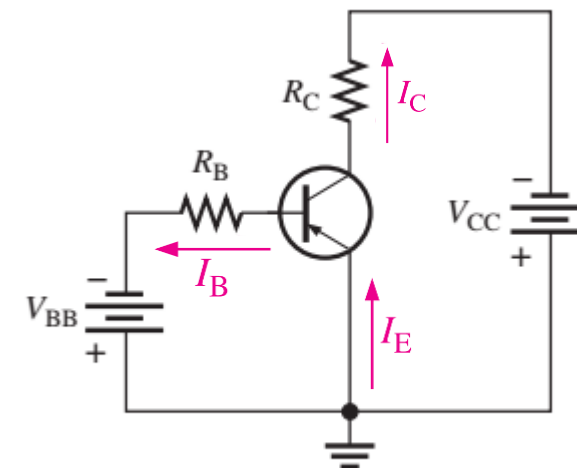
(b) pnp



Operação do TBJ



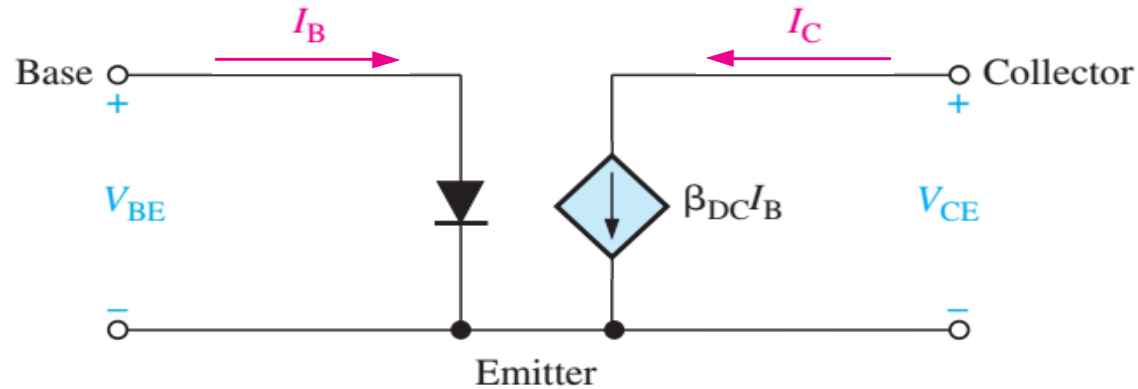
(a) *npn*



(b) *pnp*

Operação do TBJ

Modelo DC Ideal



Ganho de corrente DC

$$\beta_{DC} = \frac{I_C}{I_B}$$

$$h_{FE} = \beta_{DC}$$

$$\alpha_{DC} = \frac{I_C}{I_E}$$

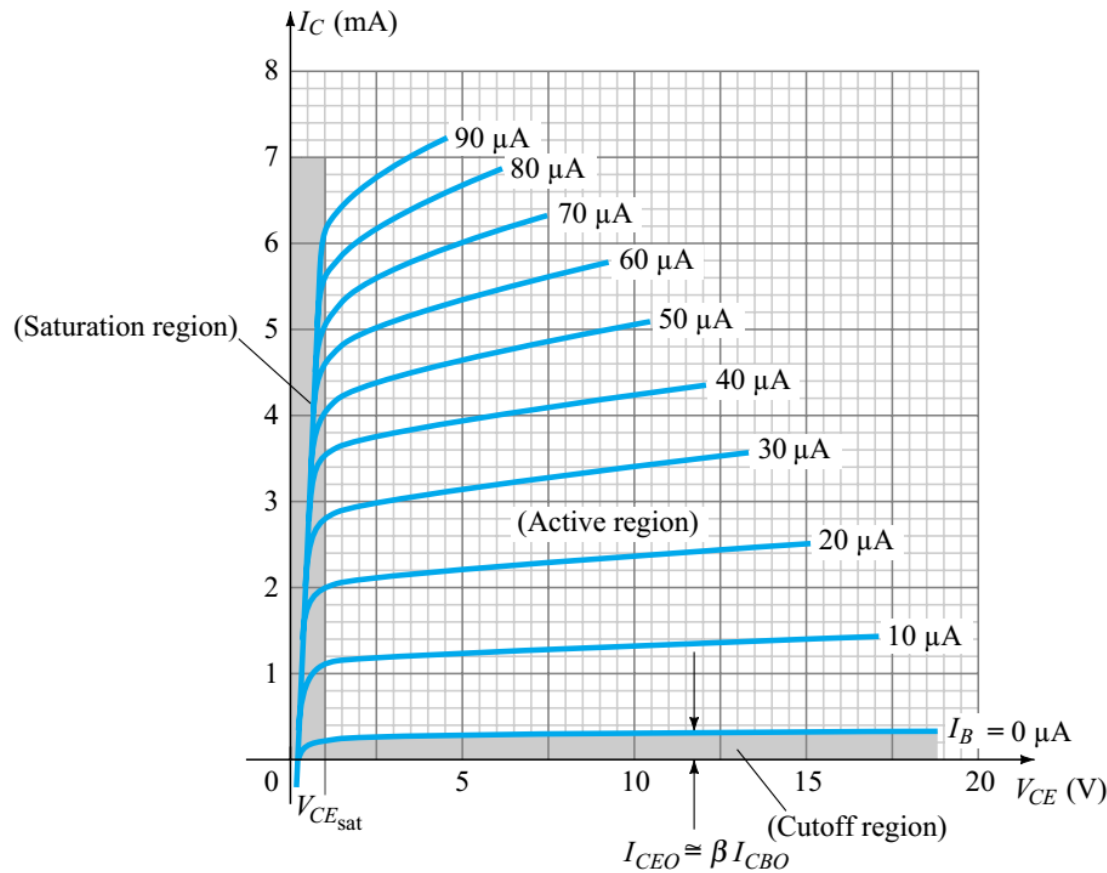
$$I_E = I_C + I_B$$

Operação do TBJ

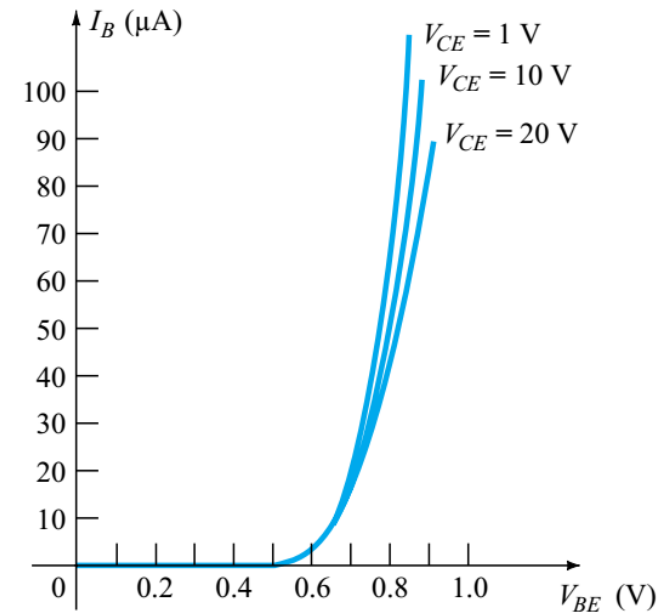
- Região de Corte
 - Junção Base-Emissor polarizada reversamente
 - Junção Base-Coletor polarizada reversamente
- Região de Saturação
 - Junção Base-Emissor polarizada diretamente
 - Junção Base-Coletor polarizada diretamente
- Região Ativa
 - Junção Base-Emissor polarizada diretamente
 - Junção Base-Coletor polarizada reversamente

Operação do TBJ

Curvas características (configuração Emissor-Comum)



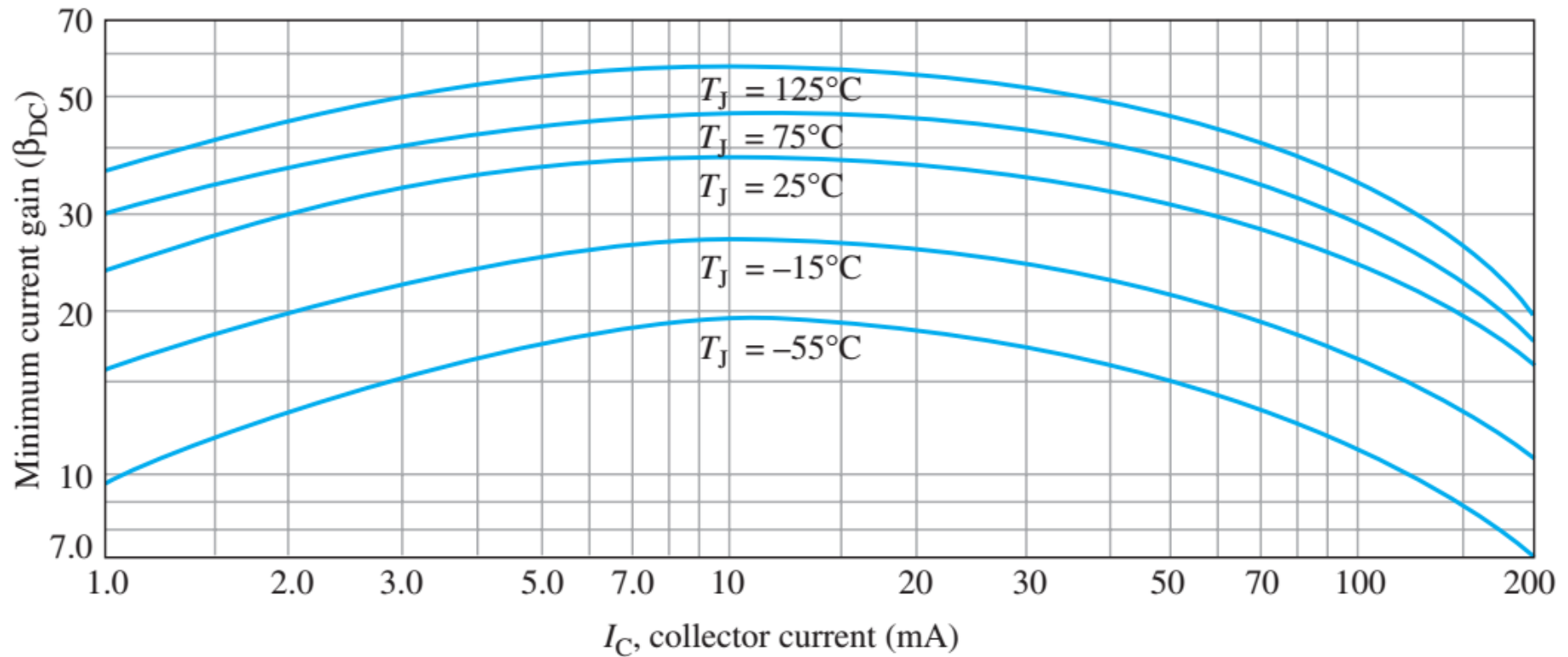
(a)



(b)

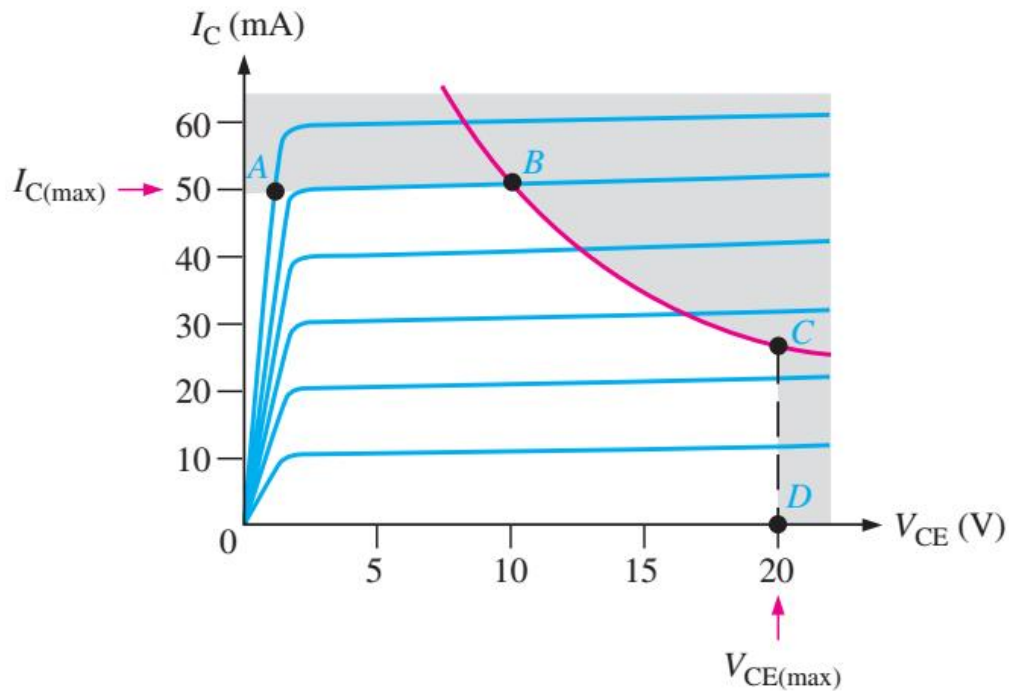
Operação do TBJ

Ganho de Corrente DC em função de corrente de coletor e temperatura



Operação do TBJ

Limites de Operação



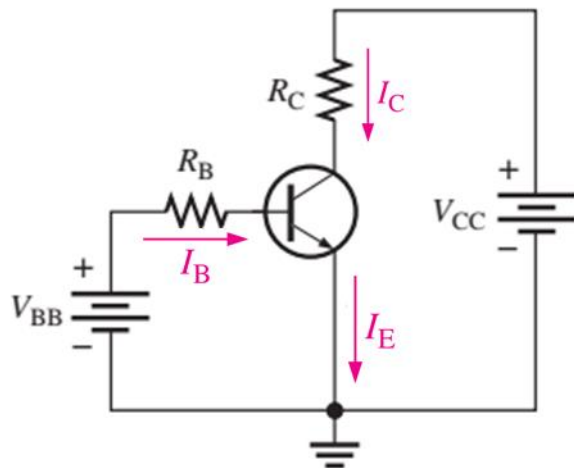
$$I_C = \frac{P_{D(max)}}{V_{CE}}$$

$$V_{CE} = \frac{P_{D(max)}}{I_C}$$

$P_{D(max)}$	V_{CE}	I_C
500 mW	5 V	100 mA
500 mW	10 V	50 mA
500 mW	15 V	33 mA
500 mW	20 V	25 mA

Análise de Circuito

Polarização Simples



(a) npn

$$I_B = \frac{V_{BB} - V_{BE}}{R_B}$$

$$V_{CE} = V_{CC} - I_C R_C$$

$$V_{CB} = V_{CE} - V_{BE}$$

Em função do ponto de operação desejado (V_{CEQ} e I_{CQ}) os valores de R_C e R_B podem ser calculados para se obter a polarização necessária.



BC237/238/239

Switching and Amplifier Applications

- Low Noise: BC239

NPN Epitaxial Silicon Transistor

Absolute Maximum Ratings $T_a=25^\circ\text{C}$ unless otherwise noted

Symbol	Parameter	Value	Units
V_{CES}	Collector-Emitter Voltage : BC237	50	V
	: BC238/239	30	V
V_{CEO}	Collector-Emitter Voltage : BC237	45	V
	: BC238/239	25	V
V_{EBO}	Emitter-Base Voltage : BC237	6	V
	: BC238/239	5	V
I_C	Collector Current (DC)	100	mA
P_C	Collector Dissipation	500	mW
T_J	Junction Temperature	150	$^\circ\text{C}$
T_{STG}	Storage Temperature	-55 ~ 150	$^\circ\text{C}$

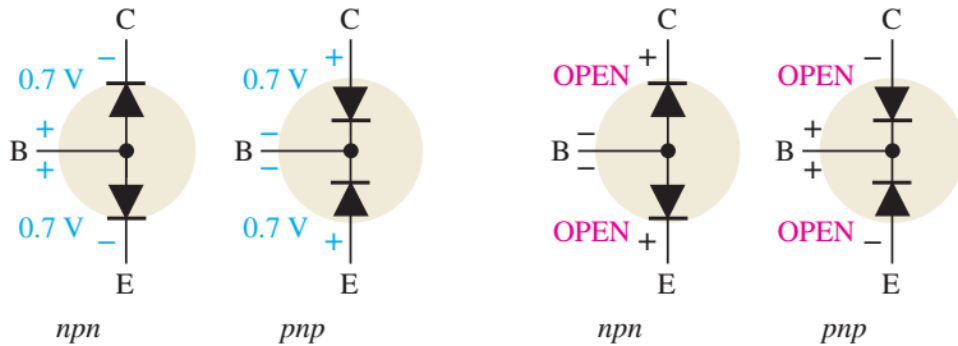


Folha de Dados

Electrical Characteristics $T_a=25^\circ\text{C}$ unless otherwise noted

Symbol	Parameter	Test Condition	Min.	Typ.	Max.	Units
BV_{CEO}	Collector-Emitter Breakdown Voltage	$I_C=2\text{mA}$, $I_B=0$	45 25			V V
	: BC237 : BC238/239					
BV_{EBO}	Emitter Base Breakdown Voltage	$I_E=1\mu\text{A}$, $I_C=0$	6 5			V V
	: BC237 : BC238/239					
I_{CES}	Collector Cut-off Current	$V_{CE}=50\text{V}$, $V_{BE}=0$ $V_{CE}=30\text{V}$, $V_{BE}=0$		0.2 0.2	15 15	nA nA
	: BC237 : BC238/239					
h_{FE}	DC Current Gain	$V_{CE}=5\text{V}$, $I_C=2\text{mA}$	120		800	
$V_{CE}(\text{sat})$	Collector-Emitter Saturation Voltage	$I_C=10\text{mA}$, $I_B=0.5\text{mA}$		0.07	0.2	V
		$I_C=100\text{mA}$, $I_B=5\text{mA}$		0.2	0.6	V
$V_{BE}(\text{sat})$	Collector-Base Saturation Voltage	$I_C=10\text{mA}$, $I_B=0.5\text{mA}$		0.73	0.83	V
		$I_C=100\text{mA}$, $I_B=5\text{mA}$		0.87	1.05	V
$V_{BE}(\text{on})$	Base-Emitter On Voltage	$V_{CE}=5\text{V}$, $I_C=2\text{mA}$	0.55	0.62	0.7	V
f_T	Current Gain Bandwidth Product	$V_{CE}=3\text{V}$, $I_C=0.5\text{mA}$, $f=100\text{MHz}$	150	85		MHz
		$V_{CE}=5\text{V}$, $I_C=10\text{mA}$, $f=100\text{MHz}$		250		MHz
C_{ob}	Output Capacitance	$V_{CB}=10\text{V}$, $I_E=0$, $f=1\text{MHz}$		3.5	6	pF
C_{ib}	Input Base Capacitance	$V_{EB}=0.5\text{V}$, $I_C=0$, $f=1\text{MHz}$		8		pF
NF	Noise Figure	$V_{CE}=5\text{V}$, $I_C=0.2\text{mA}$, $f=1\text{KHz}$ $R_G=2\text{K}\Omega$ $V_{CE}=5\text{V}$, $I_C=0.2\text{mA}$ $R_G=2\text{K}\Omega$, $f=30\sim 15\text{KHz}$		2	10	dB
	: BC237/238				4	dB
	: BC239				4	dB

Teste de TBJ

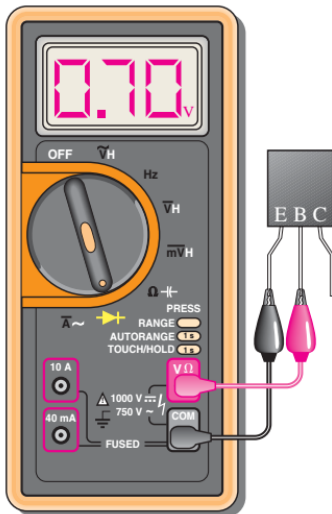


(a) Both junctions should typically read 0.7 V when forward-biased.

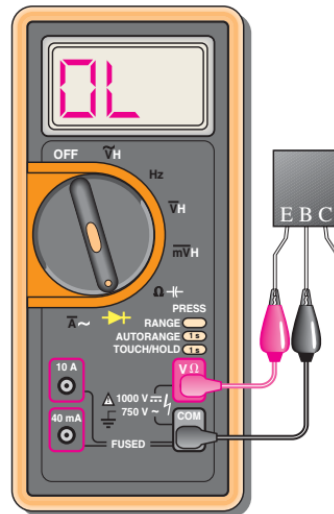
(b) Both junctions should ideally read OPEN when reverse-biased.

Medida de Resistência entre Base e Coletor deve ser elevada em qualquer direção, caso contrário, o transistor apresenta falha.

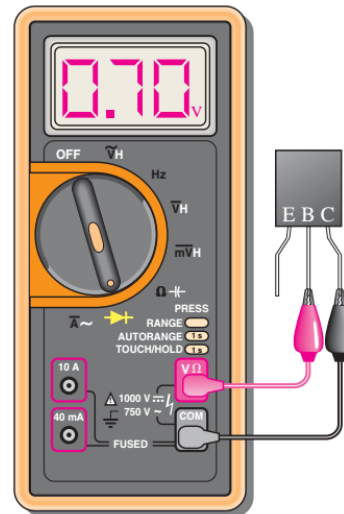
EXEMPLO PARA UM TBJ NPN



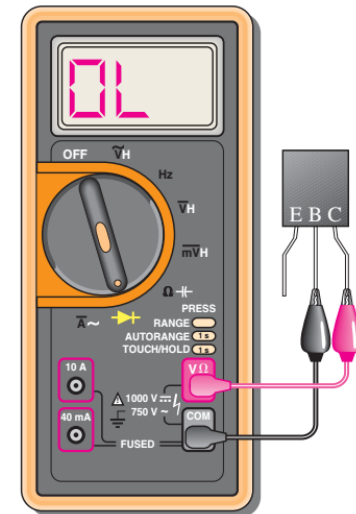
(a) Forward-bias test of the BE junction



(b) Reverse-bias test of the BE junction



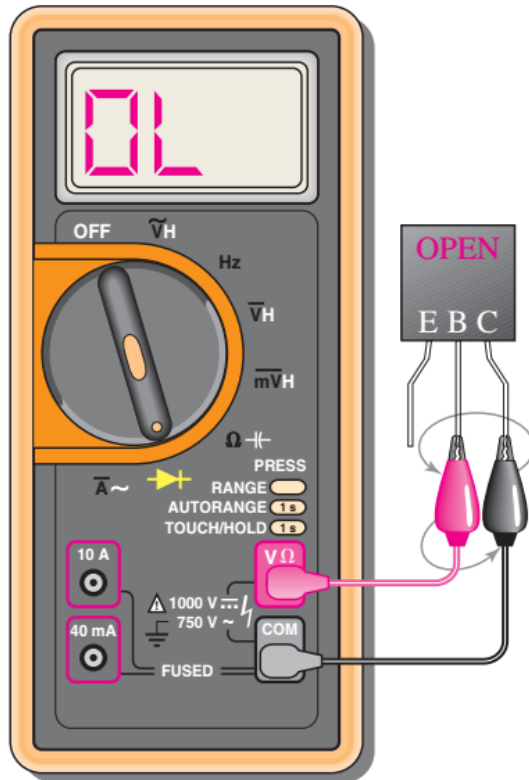
(c) Forward-bias test of the BC junction



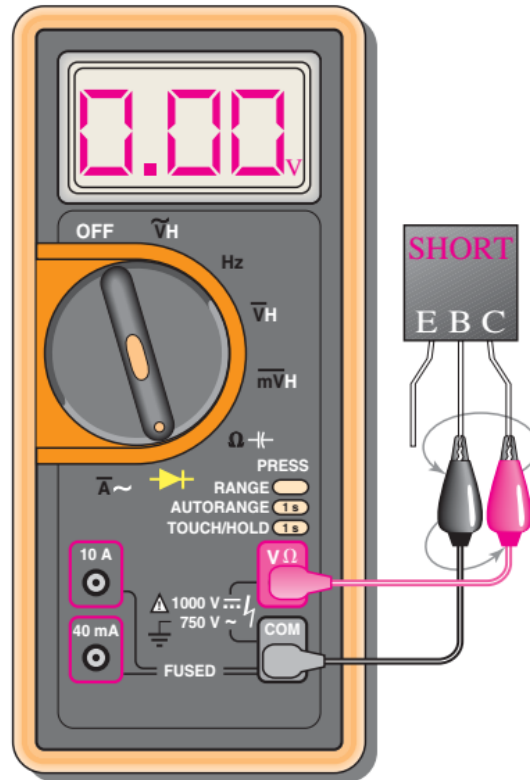
(d) Reverse-bias test of the BC junction

Teste de TBJ

TRANSISTOR COM FALHA



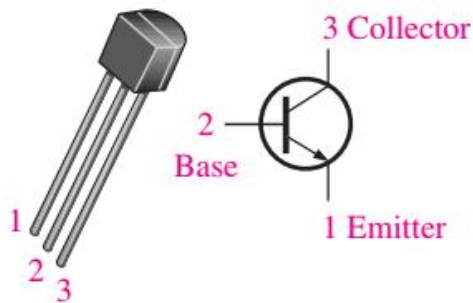
(a) Forward-bias test and reverse-bias test give the same reading (OL is typical) for an open BC junction.



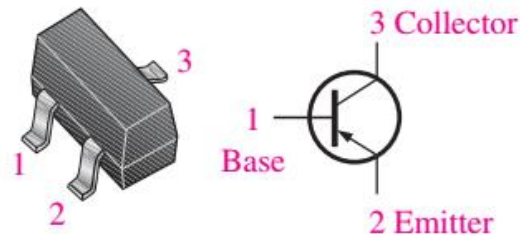
(b) Forward- and reverse-bias tests for a shorted junction give the same 0 V reading.

Empacotamento

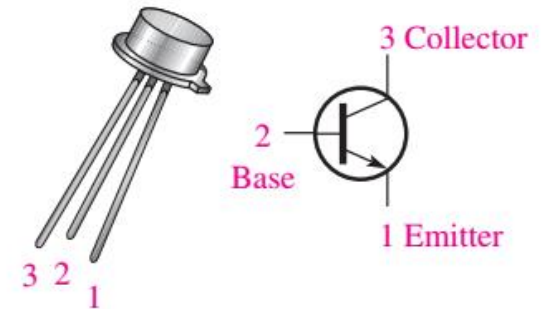
Transistores de uso geral



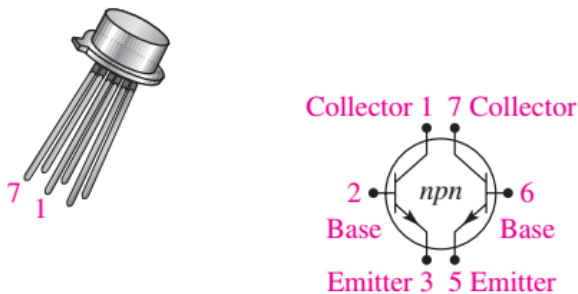
(a) TO-92



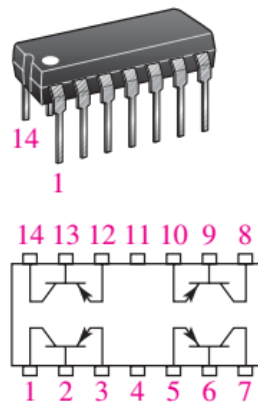
(b) SOT-23



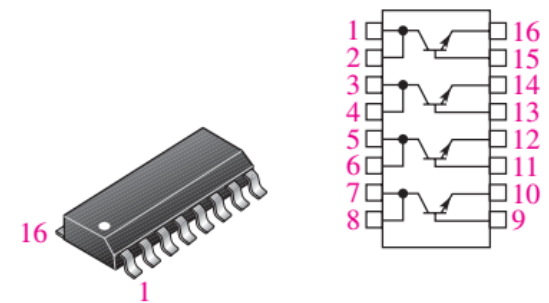
(c) TO-18. Emitter is closest to tab.



(a) Dual metal can. Emitters are closest to tab.



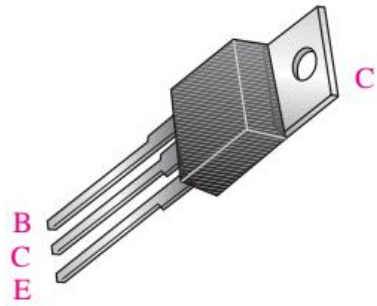
(b) Quad dual in-line (DIP) and quad flat-pack. Dot indicates pin 1.



(c) Quad small outline (SO) package for surface-mount technology

Empacotamento

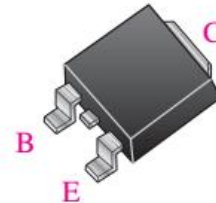
Transistores de potência



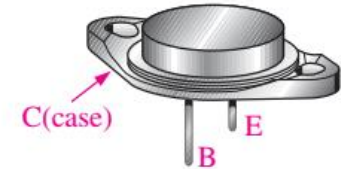
(a) TO-220



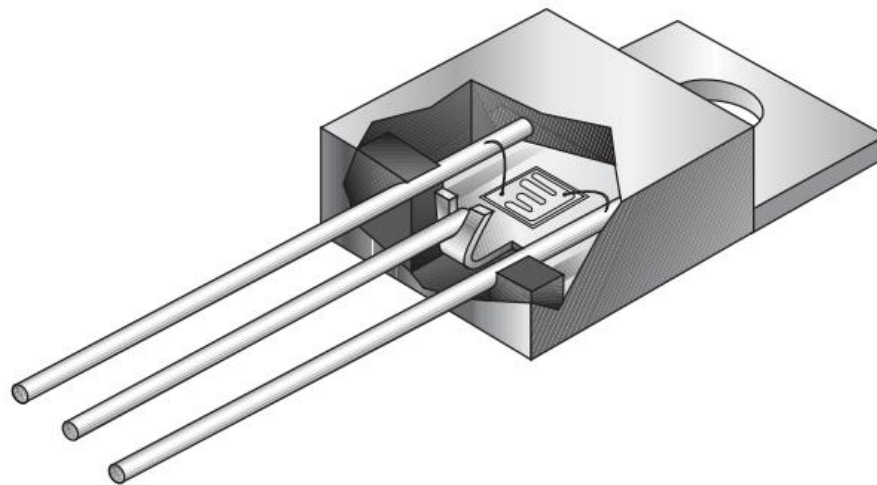
(b) TO-225



(c) D-Pack



(d) TO-3



(e) Greatly enlarged cutaway view of tiny transistor chip mounted in the encapsulated package

Referência

Boylestad, R. L., Nashelsky, L. Dispositivos Eletrônicos e teoria de circuitos, 8ª. Edição, Pearson.

Fairchild Semiconductors, BD237/238/239, *Data Sheet*, Rev. B, Jan. 2001.